

手术治疗痛风石性腰椎管狭窄 1 例报告

陈鉴权¹, 陈茂水¹, 张博¹, 曾浩彬¹, 麦烙祺², 夏威夷², 李浩²

(1. 广东省中医院珠海医院, 广东 珠海 519000; 2. 广州中医药大学第二临床医学院, 广东 广州 510405)

关键词 痛风; 腰椎管狭窄; 病例报告

中图分类号: R681.5

DOI: 10.3969/j.issn.1003-0034.2019.03.014

开放科学(资源服务)标识码(OSID):



Surgical treatment of gouty calculous lumbar spinal stenosis: a case report CHEN Jian-quan, CHEN Mao-shui*, ZHANG Bo, CENG Hao-bin, MAI Luo-qi, XIA Wei-yi, and LI Hao. *Zhuhai Hospital, Guangdong Provincial Hospital of Traditional Chinese Medicine, Zhuhai 519000, Guangdong, China

KEYWORDS Gout; Lumbar spinal stenosis; Case report

患者男性, 20 岁, 学生, 因“腰痛活动受限伴双侧臀部痹痛 1 月余”于 2017 年 12 月来我院就诊。患者 1 个月前无明显外伤下, 开始出现腰背疼痛, 伴双侧臀部痹痛, 无明显双下肢放射痛, 间断门诊行保守治疗, 症状反复发作。既往痛风性关节炎病史, 但未系统治疗。查体: 体型肥胖, BMI 指数 31。腰椎活动明显受限, 以前屈、后伸为主, 下蹲受限, L_{3,4}、L_{4,5} 椎间隙压痛及叩击痛阳性, 双侧髌“4”字试验阴性, 双侧直腿抬高试验 70°, 加强试验阴性, 双下肢肌力正常, 双下肢肌张力及感觉未见明显异常, 双侧膝腱反射减弱, 双侧跟腱反射减弱, 巴宾斯基征阴性。VAS 评分: 6 分, JOA 评分: 16 分。实验室检查: 血尿酸 729 μmol/L, 血沉 30 mm/h, C-反应蛋白 6.2 mg/L, 其他检验结果正常。影像学检查(图 1): 腰椎 MRI 检查提示腰椎附件骨质破坏, 多发小脓肿形成, 累及椎管, 脊膜增厚并脓肿形成, 考虑感染性病变可能(布鲁氏菌感染? 结核?), 痛风性椎小关节炎亦不能除外, 需结合临床和实验室检查。腰椎 CT 检查提示 L_{3,4} 水平椎管内稍高密度结节影伴钙化, 怀疑脊膜瘤; 进一步 MRI 增强扫描提示 L₃-L₅ 椎小关节改变, 怀疑椎小关节炎, 肿瘤侵犯。建议进一步检查。

排除手术禁忌证后, 全麻下行后路病灶清除、椎管减压、椎弓根钉内固定术, 术中见 L₃、L₄ 椎板、黄韧带及关节突不同程度白色颗粒样结晶沉着, 骨质侵蚀, L₄ 椎体后缘对应椎管内见一大小约 1.5 cm × 2.0 cm 大小的类圆形占位压迫硬膜囊, 脊髓神经根受压严重, 扩大 L_{3,4}、L_{4,5} 双侧侧隐窝及根管, 探查神经根并松解, 清除所有珍珠粉末样组织, 探查见神经

根松解良好; 安装内固定系统, 在相应节段行横突间植骨。术后复查 X 线片内固定位置良好, 术后 CT 见病灶完全清除。病理结果显示大量痛风结晶、周围见多核巨噬细胞。随访 3 个月, 腰痛伴双侧臀部痹痛基本缓解, VAS 评分: 2 分, JOA 评分: 19 分。术后系统降尿酸药物治疗, 定期监测血尿酸指标。

讨论

痛风是单钠尿酸盐(MSU)沉积导致的晶体相关性关节病, 嘌呤代谢异常导致血液中尿酸升高。当尿酸结晶破坏关节时表现为剧烈的疼痛, 称为痛风。体表痛风石好发于耳廓、膝关节囊、尺骨鹰嘴、指间和掌指关节, 以跖趾关节多见。发生在脊柱部位的痛风石比较少, 但近年来, 国内外对痛风石出现在颈、胸、腰椎部位均有报道^[1-6]。然而, 痛风石出现在椎管内, 导致神经受压、出现神经损害需要手术治疗的患者比较罕见。Kersley 等^[7]于 1950 年首次报道了痛风石侵犯脊柱的病例。1953 年 Koskoff 等^[8]报道了第 1 例由痛风引起的脊髓病。Kao 等^[9]在 2000 年首次报道了椎管内痛风石并侵犯胸脊髓的病例。有学者研究^[10], 痛风石侵犯脊柱于腰椎多见, 可能与腰椎负重、活动度大有关, 颈椎次之, 胸椎少见。痛风石首先侵犯脊柱的关节突关节, 随着病情的发展, 继续侵犯上关节突、椎板、椎弓根, 痛风石继续生长, 向内压迫硬膜囊后方, 继而产生一系列临床症状。本次报道的痛风石性腰椎管狭窄患者, 从影像学上分析, 也符合文献报道的侵犯顺序。造成脊柱痛风石病因尚不完全明确, 但有学者研究^[11-13]发现高嘌呤饮食、酗酒、使用利尿剂、肾功能不全、尿酸过高、不规律服用降尿酸药物是发生痛风石的危险因素。

本例患者血尿酸长期居高不下, 指标控制不良, 主要表现为出现腰背痛, 加之, 过度肥胖, BMI 指数

通讯作者: 陈茂水 E-mail: 498553674@qq.com

Corresponding author: CHEN Mao-shui E-mail: 498553674@qq.com

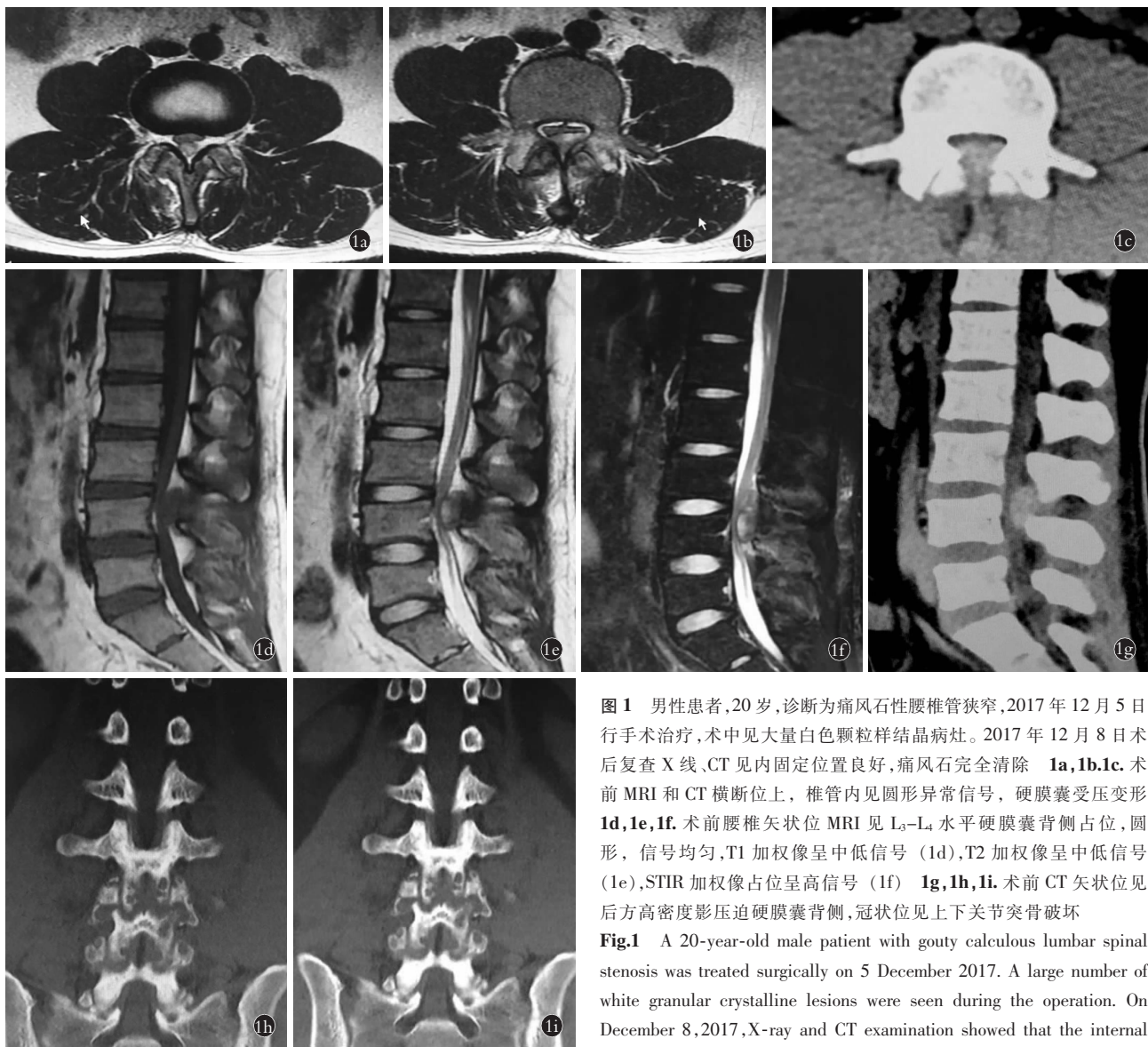


图1 男性患者,20岁,诊断为痛风石性腰椎管狭窄,2017年12月5日行手术治疗,术中见大量白色颗粒样结晶病灶。2017年12月8日后复查X线、CT见内固定位置良好,痛风石完全清除 1a,1b,1c. 术前MRI和CT横断位上,椎管内见圆形异常信号,硬膜囊受压变形 1d,1e,1f. 术前腰椎矢状位MRI见L₃-L₄水平硬膜囊背侧占位,圆形,信号均匀,T1加权像呈中低信号(1d),T2加权像呈中低信号(1e),STIR加权像占位呈高信号(1f) 1g,1h,1i. 术前CT矢状位见后方高密度影压迫硬膜囊背侧,冠状位见上下关节突骨破坏

Fig.1 A 20-year-old male patient with gouty calculous lumbar spinal stenosis was treated surgically on 5 December 2017. A large number of white granular crystalline lesions were seen during the operation. On December 8,2017,X-ray and CT examination showed that the internal fixation position was good and the gout stone was completely removed

1a,1b,1c. Preoperative transverse MRI and CT showed the circular abnormal signals in the spinal canal,and the dural sac was compressed and deformed 1d,1e,1f. Preoperative sagittal MRI showed L₃-L₄ horizontal posterior dural sac space-occupying,circular,homogeneous signal. T1 weighted images showed low-medium signal (1d),T2 weighted images showed low-medium signal (1e),and STIR weighted images showed high-signal (1f) 1g,1h,1i. Preoperative sagittal CT scan showed posterior high density shadow compressing the dorsal side of dural sac,and coronal CT scan showed destruction of superior and inferior articular processes

31,增加了腰椎负荷。痛风性脊柱病临床症状不典型,不能单凭临床症状诊断,影像学特征性表现显得尤为重要,X线检查无特异性。MRI表现为T1WI低信号、T2WI高信号的占位性病变,但部分患者T1WI可见与软组织相等或稍低信号,T2WI低或高信号^[44]。虽然脊柱痛风的MRI异常表现阳性率高,但仍缺乏特异性。CT被认为是对脊柱痛风更敏感、更有特异性的检查,腰椎CT平扫可见关节突关节、椎弓根穿凿样改变及斑片状破坏等影像学特征^[15-16]。因尿酸盐对骨质的破坏以及慢性反复的无菌性炎症,可造成长期慢性腰部不适,加上早期影像特征不

明显,需要与腰肌劳损和腰椎器质性病变相鉴别。Yamamoto等^[17]认为虽然脊柱痛风有自己的影像学特征,但应注意与感染及肿瘤如脊柱结核核、中枢神经系统淋巴瘤、转移瘤、脂肪瘤和血管瘤等相鉴别。双源CT(Dual energy CT,DECT)是目前对痛风早期检出率较高的一种检查手段,可明确显示尿酸盐结晶沉积,对疾病的早期诊断具有重大意义^[18]。Hu等^[19]认为DECT可使痛风诊断的敏感度及特异性分别达到91.9%和85.4%。然后,双源CT检查主要针对四肢关节痛风的诊断,针对痛风性脊柱病的诊断较少,对脊柱痛风病的诊断需要进一步研究。

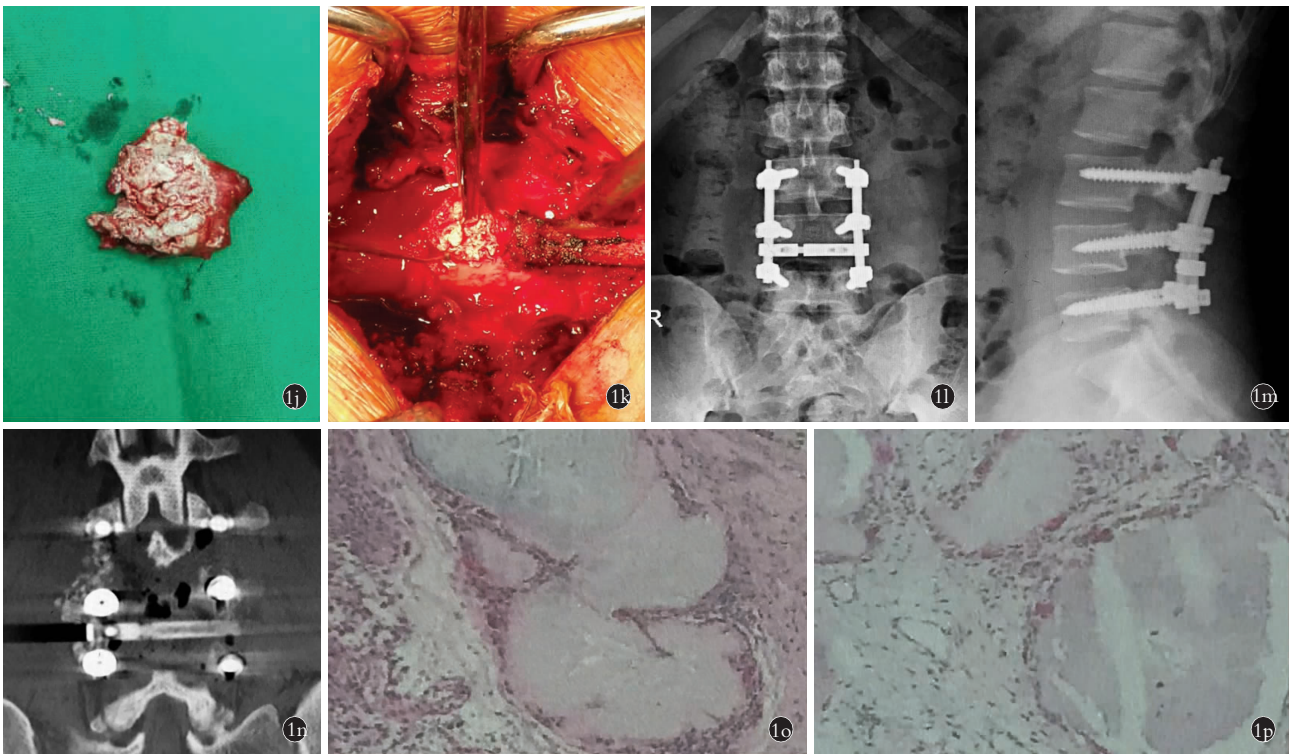


图 1 男性患者, 20 岁, 诊断为痛风性腰椎管狭窄, 2017 年 12 月 5 日行手术治疗, 术中见大量白色颗粒样结晶病灶。2017 年 12 月 8 日术后复查 X 线、CT 见内固定位置良好, 痛风石完全清除 1j, 1k。术中见白色颗粒样结晶病灶 1l, 1m, 1n。术后 1d 正侧位 X 线片提示内固定位置良好, CT 显示双侧横突间植骨颗粒 1o, 1p。术后病理结果显示大量痛风结晶、周围见多核巨噬细胞 (HE×20)

Fig.1 A 20-year-old male patient with gouty calculous lumbar spinal stenosis was treated surgically on 5 December 2017. A large number of white granular crystalline lesions were seen during the operation. On December 8, 2017, X-ray and CT examination showed that the internal fixation position was good and the gout stone was completely removed 1j, 1k. White granular crystalline lesions were seen during operation 1l, 1m, 1n. AP and lateral X-rays showed the internal fixation position was good 1 day after operation, and CT showed bilateral intertransverse process bone graft granules 1o, 1p. Postoperative pathological results showed a large number of gout crystals and multinuclear macrophages around them (HE×20)

对于治疗方式的选择上, 针对无脊髓神经受压的患者可先考虑药物治疗, Draganescu 等^[20]认为药物治疗是基础, 督导患者合理、规范用药是关键, 因为体内的高尿酸状态会加速尿酸盐的沉积, 所以药物治疗必不可少。Dhote 等^[21]认为药物治疗可以使脊柱痛风石逐渐消失。King 等^[22]认为脊柱痛风急性发作时, 由于尿酸盐的机械性与化学性刺激, 造成其周围组织坏死及炎性反应, 导致痛风石肿胀, 周围组织水肿、充血等。在椎管有限的空间里, 压迫及炎症物质的刺激, 均可使脊髓的受压及损伤, 导致截瘫可导致腰椎痛患者截瘫, 使治疗效果不理想, 故应该早期治疗。Hou 等^[11]认为, 脊柱痛风如有神经压迫症状者, 即使在急性期也可行病灶清除减压加内固定术, 可以获得满意效果。但是痛风急性期行手术治疗, 感染的风险较大, 需要谨慎。针对椎管明显狭窄、神经受压的患者, 建议早期手术治疗, 解除神经受压。本例患者 L_{3,4} 水平硬膜囊后方痛风石形成, 导致神经受压, 手术方案选择 L₃-L₅ 后路切开、L₄ 椎板切除、痛风石病灶清除、椎弓根钉内固定、横突间植骨术。

术中见关节突关节、黄韧带、椎管内不同程度白色颗粒样结晶沉着, CT 影像学表现团块状痛风石与硬脊膜紧密粘连, 术中仔细分离后, 完整剥离, 术中未发现脑脊液漏, 术后病理结果也佐证了痛风性继发腰椎管狭窄的诊断。

笔者团队诊疗体会: (1) 诊断明确的痛风性腰椎管狭窄症的患者, 建议完善全脊柱 MRI 或 CT 检查, 明确有无跳跃性痛风石压迫椎管的情况。文献已经有报道跳跃性颈、胸椎痛风石压迫脊髓导致不全瘫的病例。(2) 因痛风结晶的严重侵蚀, 导致致压物与硬膜囊严重粘连, 剥离时很容易出现硬膜囊撕裂、脑脊液漏等并发症, 故术中必须仔细分离。完整剥离难度极大, 允许少许痛风结晶组织附着于硬膜囊, 以免强行分离组织增加手术并发症。(3) 督导患者健康低嘌呤饮食、配合降尿酸药物是治疗痛风性腰椎管狭窄症的基础, 需要重视并且坚持执行。(4) 从长远角度考虑, 年轻患者尽量避免腰椎融合。本次报道患者未行椎间融合, 减少了手术创伤, 只是在关节突关节和横突间有植同种自体骨, 后期根据随访的情况

而定是否取出内固定。

回顾以往的文献报道，加强宣教，适当功能锻炼，提供个体化的脊柱痛风的预防及治疗策略，督导脊柱痛风患者饮食调节、药物控制等手段，综合抗痛风治疗。存在节段不稳、脊髓神经受压，把握适当的手术时机，及时行手术治疗，预后良好。

参考文献

[1] Yoon JW, Park KB, Park H, et al. Tophaceous gout of the spine causing neural compression[J]. Korean J Spine, 2013, 10(3):185-188.

[2] Hasturk AE, Basmaci M, Canbay S, et al. Spinal gout tophus: a very rare cause of radiculopathy[J]. Eur Spine J, 2012, 21(Suppl 4):400-403.

[3] Thavarajah D, Hussain R, Martin JL. Cervical arthropathy caused by gout: stabilisation without decompression[J]. Eur Spine J, 2011, 20(Suppl 2):S231-S234.

[4] 唐超, 廖焯晖, 唐强, 等. 痛风石导致腰椎管狭窄症 1 例[J]. 中国骨伤, 2018, 31(8):779-782.
TANG C, LIAO YH, TANG Q, et al. Lumbar canal stenosis caused by gout: a case report[J]. Zhongguo Gu Shang/China J Orthop Trauma, 2018, 31(8):779-782. Chinese.

[5] 吕龙龙, 陈龙, 黄琦, 等. 硬膜外脂肪瘤内痛风石形成致脊髓压迫症 1 例[J]. 中国骨伤, 2018, 31(3):279-280.
LYU LL, CHEN L, HUANG Q, et al. Spinal cord compression caused by tophus in epidural lipoma: a case report[J]. Zhongguo Gu Shang/China J Orthop Trauma, 2018, 31(3):279-280. Chinese.

[6] 卫成军, 王文岳, 谢利民, 等. 痛风结晶致胸椎管狭窄症 1 例[J]. 中国骨伤, 2016, 29(7):665-667.
WEI CJ, WANG WY, XIE LM, et al. Diagnosis and treatment for thoracic spinal stenosis caused by tophaceous gout: a case report[J]. Zhongguo Gu Shang/China J Orthop Trauma, 2016, 29(7):665-667. Chinese.

[7] Kersley GD, Mandel L, Jeffrey MR. Gout: an unusual case with softening and subluxation of the first cervical vertebra and splenomegaly[J]. Ann Rheum Dis, 1950, 9(4):282-304.

[8] Koskoff YD, Morris LE, Lubic LG. Paraplegia as a complication of gout[J]. J Am Med Assoc, 1953, 152(1):37-38.

[9] Kao MC, Huang SC, Chiu CT, et al. Thoracic cord compression due to gout: a case report and literature review[J]. J Formos Med Assoc, 2000, 99(7):572-575.

[10] Lam HY, Cheung KY, Law SW, et al. Crystal arthropathy of the lumbar spine: a report of 4 cases[J]. J Orthop Surg (Hong Kong), 2007, 15(1):94-101.

[11] Hou LC, Hsu AR, Veeravagu A, et al. Spinal gout in a renal transplant patient: a case report and literature review[J]. Surg Neurol, 2007, 67(1):65-73.

[12] 冉兵, 魏俊. 痛风石诊断与治疗的研究进展[J]. 中国骨伤, 2017, 30(9):876-880.
RAN B, WEI J. Progress on diagnosis and treatment of tophus[J]. Zhongguo Gu Shang/China J Orthop Trauma, 2017, 30(9):876-880. Chinese.

[13] 吕冬亮, 陆雪华. 双手双足痛风性关节炎合并巨大痛风结节钙化 1 例[J]. 中国骨伤, 2009, 22(12):955.
LYU DL, LU XH. Gouty arthritis of hands and feet combined with giant calcified tophus: a report of 1 case[J]. Zhongguo Gu Shang/China J Orthop Trauma, 2009, 22(12):955. Chinese.

[14] Yoon JW, Park KB, Park H, et al. Tophaceous gout of the spine causing neural compression[J]. Korean J Spine, 2013, 10:185-188.

[15] Wendling D, Prati C, Hoen B, et al. When gout involves the spine: five patients including two inaugural cases[J]. Joint Bone Spine, 2013, 80(6):656-659.

[16] Lu F, Jiang J, Zhang F, et al. Lumbar spinal stenosis induced by rare chronic tophaceous gout in a 29-year-old man[J]. Orthopedics, 2012, 35(10):E1571-E1575.

[17] Yamamoto M, Tabeya T, Masaki Y, et al. Tophaceous gout in the cervical spine[J]. Intern Med, 2012, 51(3):325-328.

[18] Dalbeth N, Aati O, Kalluru R, et al. Relationship between structural joint damage and urate deposition in gout: a plain radiography and dual-energy CT study[J]. Ann Rheum Dis, 2015, 74(6):1030-1036.

[19] Hu HJ, Liao MY, Xu LY. Clinical utility of dual-energy CT for gout diagnosis[J]. Clin Imaging, 2015, 39(5):880-885.

[20] Draganescu M, Leventhal LJ. Spine gout: case report and review of the literature[J]. J Clin Rheumatol, 2004, 10(2):74-79.

[21] Dhote R, Roux FX, Bachmeyer C, et al. Extradural spinal tophaceous gout: evolution with medical treatment[J]. Clin Exp Rheumatol, 1997, 15(4):421-423.

[22] King JC, Nicholas C. Gouty arthropathy of the lumbar spine: a case report and review of the literature[J]. Spine (Phila Pa 1976), 1997, 22(19):2309-2312.

(收稿日期:2018-08-06 本文编辑:王宏)